



247142



รายงานการทดลองปัจจุบันของยาที่มีส่วนประกอบของยาประคบร่องช่อง  
น้ำลาย - แมกนีเซียมไซเลต์และแมกนีเซียมฟลูออไรด์ในรูปแบบ  
PREPARATION AND EVALUATION OF NICOTINE-MAGNESIUM  
ALUMINUM SILICATE COMPLEX-LOADED MATRIX TABLETS  
FOR BUCCAL DELIVERY

นิติกร ใจดี ภานุพันธ์

วิทยานิพนธ์ปริญญาโทสาขาวิชาพัฒนาชีวภาพ  
มหาวิทยาลัยมหาสารคาม

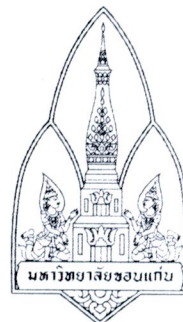
พ.ศ. 2554

b00252296

ห้องสมุดงานวิจัย สำนักงานคณะกรรมการการอุดมศึกษา



247142



การเตรียมและประเมินยาเม็ดเมมทริกซ์บรรจุสารประกอบเชิงช้อน  
นิโกรดิน-แมกนีเซียมอะลูมิเนียมซิลิเกต เพื่อนำส่งทางกระเพุงแก้ม

**PREPARATION AND EVALUATION OF NICOTINE-MAGNESIUM  
ALUMINUM SILICATE COMPLEX-LOADED MATRIX TABLETS  
FOR BUCCAL DELIVERY**



นางสาวโสภาพรรณ กาญจนบัตร

วิทยานิพนธ์ปริญญาเภสัชศาสตรมหาบัณฑิต  
มหาวิทยาลัยขอนแก่น

พ.ศ. 2554

การเครื่ยมและประเมินยาเม็ดแมทริกซ์บรรจุสารประกอบเชิงช้อน  
นิโโคติน-แมกนีเซียมอะลูมิเนียมชิลิเกต เพื่อนำส่งทางกระเพุงแก้ม

นางสาว索ภาพร ภานุจนบัตร

วิทยานิพนธ์นี้เป็นส่วนหนึ่งของการศึกษาตามหลักสูตรปริญญาเอกสาขาวิชาสหเวชศาสตรมหาบัณฑิต  
สาขาวิชาเภสัชภัณฑ์

บัณฑิตวิทยาลัย มหาวิทยาลัยขอนแก่น

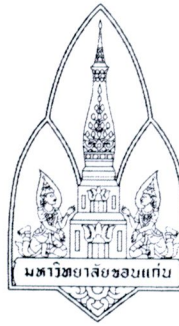
พ.ศ. 2554

**PREPARATION AND EVALUATION OF NICOTINE-MAGNESIUM  
ALUMINUM SILICATE COMPLEX-LOADED MATRIX TABLETS  
FOR BUCCAL DELIVERY**

**MISS SOPAPHAN KANJANABAT**

**A THESIS SUBMITTED IN PARTIAL FULFILLMENT OF THE REQUIREMENTS  
FOR THE DEGREE OF MASTER OF PHARMACY  
IN PHARMACEUTICALS  
GRADUATE SCHOOL KHON KAEN UNIVERSITY**

**2011**



ใบรับรองวิทยานิพนธ์  
มหาวิทยาลัยขอนแก่น  
หลักสูตร  
เภสัชศาสตรมหาบัณฑิต  
สาขาวิชาเภสัชภัณฑ์

- ชื่อวิทยานิพนธ์: การเตรียมและประเมินยาเม็ดเมมทริกซ์บรรจุสารประกอบเชิงซ้อนนิโโคติน-แมกนีเซียมอะลูมิնัมชิลิเคลต เพื่อนำส่งทางกระเพุ่งแก้ม<sup>1</sup>  
ชื่อผู้ทำวิทยานิพนธ์: นางสาวโสภាពรพรรณ กาญจนบัตร

คณะกรรมการสอบวิทยานิพนธ์	ผศ.ดร. พดุงขาวัญ จิต โทรภาค	ประธานกรรมการ
	รศ.ดร. ศรีสกุล สังข์ทองจีน	กรรมการ
	รศ.ดร. นเนศ พงศ์จรรยาภุล	กรรมการ

อาจารย์ที่ปรึกษาวิทยานิพนธ์

อาจารย์ที่ปรึกษา

(รองศาสตราจารย์ ดร. นเนศ พงศ์จรรยาภุล)

.....  
  
(รองศาสตราจารย์ ดร. ลำปาง แม่นมาตย์)

.....  
  
(รองศาสตราจารย์ ดร. วงศ์วิวัฒน์ ทัศนียกุล)

คณบดีบัณฑิตวิทยาลัย

คณบดีคณะเภสัชศาสตร์

ลิขสิทธิ์ของมหาวิทยาลัยขอนแก่น

ໂສກារພຣມ ກາງຈັນນັກ. 2554. ກາຣເຕີຍມແລ້ປະເມີນຢາເມືດເມທຣິກຊົບຮຸສາຣປະກອບເຊີງຂອນ  
ນີໂຄດິນ-ແມກນີເຊີມອະລຸມິນັມ-ຊີລິເຄີດ ເພື່ອນໍາສ່າງທາງກະຮຸ້ງແກ້ມ. ວິທານີພັນທີປີລູ້ງ  
ເກສັ້ນສາສຕຣມຫານັນທິດ ສາຂາວິທາເກສັ້ນກັນທີ ນັນທິຕົວທາລີຍ ມາວິທາລີຍຂອນແກ່ນ.

ອາຈານຍິ່ງປົກຍາວິທານີພັນທີ: ຮສ.ດຣ. ນິເນສ ພົງສຈົງຮຽກຖຸ

ນທກັດຍ່ອ

247142

ວັດຖຸປະສົງຄໍຂອງກາຣສຶກຢານີ້ ອື່ນ ເຕີຍມແລ້ປະເມີນຢາເມືດເມທຣິກຊົບຮຸສາຣປະກອບເຊີງຂອນນີໂຄດິນ-  
ແມກນີເຊີມອະລຸມິນັມ-ຊີລິເຄີດ ຂຶ່ງທໍານັ້ນທີ່ເປັນແຫ່ລ່ງກັກເກີນຢາ ສໍາຫັນນຳສ່າງທາງກະຮຸ້ງແກ້ມ ໄໃຫ້ເຊີມອັນິນດ  
ແລະ ໄສໂຄຣອກໄຟພິພິມທີເລືອກສູລໂລສ ເປັນພອລິເມອ້ວສໍາຫັນຍືດຕິທາງຊົວກາພ ສຶກຢາປັ້ງຈີຍທີ່ມີຜລດຕ່ອຸ້ນສົມບັດ  
ຂອງຢາເມືດເມທຣິກຊົບຮຸສ ເຊັ່ນ ພົອທີ່ເຕີຍມສາຮປະກອບເຊີງຂອນ ປົມມານນີໂຄດິນ ຜົນດແລະປົມມານຂອງພອລິເມອ້ວ  
ແລະກາຣເດີມໂໃຊ້ເຂົ້ມຄລອໄຣດ໌ ກຣດຊີຕຣິກ ແລະແມກນີເຊີມໄສໂຄຣອກໄຟດົງໃນຢາເມືດເມທຣິກຊົບຮຸສ ພັດກາຣສຶກຢາພນວ່າ  
ຢາເມືດເມທຣິກຊົບຮຸສທຸກຕໍ່ານັ້ນມີຄຸນສົມບັດທາງກາຍກາພເປັນທີ່ຂອນຮັບ ຢາເມືດເມທຣິກຊົບຮຸສາຣປະກອບເຊີງຂອນນີໂຄດິນ-  
ແມກນີເຊີມອະລຸມິນັມ-ຊີລິເຄີດ ໄນເກີດກາຣປັດປຸລ່ອຍນີໂຄດິນອ່າງຮວດເຮົວໃນຂ່າວແຮກ ເມື່ອເປົ້າຍໃຫ້ກັນອຸປະກອງ  
ສາຮປະກອບເຊີງຂອນນີໂຄດິນ-ແມກນີເຊີມອະລຸມິນັມ-ຊີລິເຄີດ ກາຣປັດປຸລ່ອຍນີໂຄດິນຈາກຢາເມືດເມທຣິກຊົບຮຸສທີ່ມີ  
ຄວນຄຸມໂດຍກລໄກກາຣແພວ່ອງຢາ ແລະກາຣພອງຕ້ວ່າວ່າມີກັນກັບກາຣກ່ອນຂອງພອລິເມອ້ວ ກາຣເພີ່ມປົມມານນີໂຄດິນ  
ສ່າງຜລໃຫ້ອ້າຕາກາຣປັດປຸລ່ອຍຢາເພີ່ມເຂົ້ນ ເນື່ອຈາກປົມມານພອລິເມອ້ວໃນຕໍ່ານັ້ນລຄລງ ກາຣປັດປຸລ່ອຍນີໂຄດິນ  
ເພີ່ຍງຄ້ານເຄີຍຜ່ານມົມເບຣນເຊົລູໂລສະໜີເຕີດ ເກີດຜ່ານກລໄກກາຣແພວ່ອງຢາ ຈຶ່ງ ໄນເຂົ້ນອູ້ກັບປົມມານນີໂຄດິນ  
ໃນຢາເມືດ ກາຣສົມຜ່ານເຂົ້ນເມື່ອເກີດອາຫຼວງຂອງນີໂຄດິນ ສາມາຮອດອົບນາຍໄດ້ໂດຍໃຫ້ pH partition theory ອື່ນ  
ນີໂຄດິນໃນຮູບໄໝແຕກຕ້ວ ສາມາຮອສົມຜ່ານເມື່ອເມື່ອກໄດ້ຄືກວ່າຮູບໄປໂປຣໂອນແນທ ຈາກເຫຼຸດລັດັກລ່າວ ສາຮປະກອບ  
ເຊີງຂອນນີໂຄດິນ-ແມກນີເຊີມອະລຸມິນັມ-ຊີລິເຄີດທີ່ເຕີຍມທີ່ສກວະດ່າງ ມີອັດກາຣສົມຜ່ານເຂົ້ນເມື່ອກຂອງນີໂຄດິນສູງກວ່າ  
ສາຮປະກອບເຊີງຂອນນີໂຄດິນ-ແມກນີເຊີມອະລຸມິນັມ-ຊີລິເຄີດທີ່ເຕີຍມທີ່ສກວະດ່າງແລະສກວະກລາງແລະສກວະກຣດ ອັດກາຣ  
ສົມຜ່ານເຂົ້ນເມື່ອເກີດພື້ນເຂົ້ນ ເມື່ອເພີ່ມປົມມານນີໂຄດິນ ແລະເມື່ອມີກາຣເດີມແມກນີເຊີມໄສໂຄຣອກໄຟດົງໃນຢາເມືດ ໃນທາງ  
ຕຽບກັນຂ້າມ ກາຣເດີມກຣດຊີຕຣິກໃນຢາເມືດເມທຣິກຊົບຮຸສ ມີຜລະຍົບອັດກາຣສົມຜ່ານເຂົ້ນເມື່ອກຂອງນີໂຄດິນ ແຕ່ກາຣເດີມ  
ໄສເຊີມຄລອໄຣດ໌ພົນວ່າໄມ້ມີຜລ ຢາເມືດເມທຣິກຊົບຮຸສທີ່ເຕີຍມໄດ້ແສດງຄຸນສົມບັດກາຣຍືດຕິທາງຊົວກາພຕ່ອມົມເບຣນ  
ເຂົ້ນເມື່ອກ ຈາກພລກາຣສຶກຢາສຽງວ່າຢາເມືດເມທຣິກຊົບຮຸສາຮປະກອບເຊີງຂອນນີໂຄດິນ-ແມກນີເຊີມອະລຸມິນັມ-ຊີລິເຄີດ  
ມີຄວາມເປັນໄປໄຟສໍາຫັນໃຫ້ເປັນຮະບນນຳສ່າງທາງກະຮຸ້ງແກ້ມຂອງນີໂຄດິນ

Sopaphan Kanjanabat. 2011. **Preparation and Evaluation of Nicotine-Magnesium Aluminum**

**Silicate Complex-loaded Matrix Tablets for Buccal Delivery.** Master of Pharmacy

Thesis in Pharmaceuticals, Graduate school, Khon Kaen University.

**Thesis Advisor:** Assoc. Prof. Dr. Thaned Pongjanyakul

## ABSTRACT

247142

The purposes of this study were to prepare and evaluate polymeric matrix tablets containing nicotine-magnesium aluminum silicate (NCT-MAS) complexes as drug reservoirs for buccal delivery. Sodium alginate and hydroxypropylmethylcellulose were used as bioadhesive polymers. Factors affecting tablet properties, such as preparation pH of the complexes, amount of NCT, type and amount of polymers, and sodium chloride, citric acid and magnesium hydroxide added, were investigated. The results presented that all matrix tablets gave acceptable physical properties. The NCT-MAS complex-loaded matrix tablets showed a lack of initial burst release of NCT when compared with the NCT-MAS complex particles. The release of NCT from whole tablets could be controlled using drug diffusion and polymer swelling/erosion mechanisms. Increasing amount of NCT in the matrix tablets caused an increase in drug release rate because amount of polymer were decreased. The unidirectional release of NCT through cellulose acetate membrane followed the Fickian diffusion mechanism, which was independent upon NCT amount in the matrix tablets. The in vitro NCT permeation across porcine esophageal mucosa could be described using the pH partition theory that the permeation of neutral NCT was faster than that of protonated NCT. For this reason, the matrix tablets containing NCT-MAS complexes prepared at basic condition showed higher NCT permeation rate than those prepared at neutral and acidic pHs. The permeation rate of NCT increased with increasing amount of NCT and with adding magnesium hydroxide into the matrix tablets. In contrast, the presence of citric acid in the matrix tablets retarded the NCT permeation rate whereas sodium chloride was not. The matrix tablets obtained gave a bioadhesive property for adhesion to the mucosal membrane. These findings suggested that the NCT-MAS complex-loaded matrix tablets showed good potential for use as a nicotine buccal delivery system.

งานวิทยานิพนธ์นี้ขอขอบส่วนดีให้บุพการีและคณาจารย์

## กิตติกรรมประกาศ

ขอทราบขอนพระคุณ รศ.ดร. ชเนศ พงษ์จรรยาภูมิ อาจารย์ที่ปรึกษาวิทยานิพนธ์ ที่กรุณาให้ความรู้ คำแนะนำ แนวทางและวิธีการแก้ปัญหา ในการศึกษารายวิชาชีวะนิพนธ์ ด้วยความตั้งใจและใส่ใจตลอดมา จนทำให้วิทยานิพนธ์ฉบับนี้เสร็จสมบูรณ์ได้เป็นอย่างดี และขอบคุณสำหรับการสนับสนุนทุนการศึกษา และ การเปิดโอกาสในการนำเสนอผลงาน ตลอดจนการเขียนรายงานทางวิชาการเพื่อนำเสนอผลงานวิจัย

ขอขอบคุณบัณฑิตวิทยาลัย มหาวิทยาลัยขอนแก่น สำหรับการสนับสนุนทุนวิจัยสำหรับคณาจารย์ บัณฑิตศึกษา เพื่อให้สามารถรับนักศึกษาที่มีความสามารถและศักยภาพสูง เข้าศึกษาในหลักสูตรและทำวิจัยใน สาขาที่อาจารย์มีความเชี่ยวชาญ ประจำปีการศึกษา 2552

ขอขอบพระคุณ พศ.ดร. ผดุงชัยวัฒน์ จิตโกรภาส และ รศ.ดร.ศรีสกุล สังข์ทองเจัน สำหรับคำแนะนำอันเป็น ประโยชน์ในการศึกษารายวิชาชีวะนิพนธ์

ขอขอบคุณเจ้าหน้าที่และบุคลากร คณะเภสัชศาสตร์ มหาวิทยาลัยขอนแก่น สำหรับการอำนวยความ สะดวก การให้ความช่วยเหลือและคำแนะนำในด้านต่างๆ

ขอขอบคุณนักศึกษาระดับบัณฑิตศึกษา คณะเภสัชศาสตร์ มหาวิทยาลัยขอนแก่น ได้แก่ คุณวันวิสาห์ คุณวัฒนา กุล คุณวัชระ กาญจนกิวนกุล คุณฐิติพร รองทอง และคุณสารสิทธิ์ ใจดี ที่ช่วยเหลือและสนับสนุน สำหรับการทำวิจัย สำหรับคณาจารย์ คณาจารย์ที่เคารพยิ่ง หากวิทยานิพนธ์ฉบับนี้มีข้อบกพร่องประการใด ผู้วิจัยต้องขอรับอภัยและขอน้อมรับ คำแนะนำไว้ด้วยความขอบคุณยิ่ง

ไสวพารณ กาญจนบัตร

## สารบัญ

	หน้า
บทคัดย่อภาษาไทย	ก
บทคัดย่อภาษาอังกฤษ	ข
คำอุทิศ	ค
กิตติกรรมประกาศ	ง
สารบัญตาราง	ช
สารบัญภาพ	ภ
รายการสัญลักษณ์และคำย่อ	ณ
บทที่ 1 บทนำ	1
1. ความเป็นมาและความสำคัญของปัญหา	1
2. วัตถุประสงค์ของการวิจัย	2
3. ขอบเขตของการวิจัย	2
4. ประโยชน์ที่คาดว่าจะได้รับจากการวิจัย	3
บทที่ 2 วรรณกรรมและงานวิจัยที่เกี่ยวข้อง	4
1. แมgnีเชิยมอะลูมินัมชิลิเกต	4
2. นิโโอดิน	5
3. โซเดียมอัลจิเนต	6
4. ไฮดรอกซิโพพริลเมทิลเซลลูโลส	7
5. สารประกอบเชิงช้อนนิโโอดิน-แมgnีเชิยมอะลูมินัมชิลิเกต	8
6. การนำส่งสารผ่านทางเยื่อเมือกกระเพุ่งแก้ม	9
7. ยาเม็ดเมทริกซ์สำหรับนำส่งทางกระเพุ่งแก้ม	10
8. การศึกษาลักษณะการปลดปล่อยยา	12
บทที่ 3 วิธีดำเนินงานวิจัย	14
1. สารเคมี	14
2. อุปกรณ์และเครื่องมือ	14
3. วิธีการดำเนินการวิจัย	15

## สารบัญ (ต่อ)

	หน้า
บทที่ ๔ ผลการวิจัยและการอภิปรายผล	25
1. คุณสมบัติของสารประกอบเชิงช้อนนิโโคติน-แมกนีเซียมอะลูมิเนียมชิลิคेट	25
2. ยาเม็ดเมทริกซ์โซเดียมอัลจินेट บรรจุสารประกอบเชิงช้อนนิโโคติน-	28
แมกนีเซียมอะลูมิเนียมชิลิคेट	
3. ยาเม็ดเมทริกซ์ไฮดรอกซิโพรพิลเมทิลเซลลูโลส บรรจุสารประกอบเชิงช้อน	47
นิโโคติน-แมกนีเซียมอะลูมิเนียมชิลิคेट	
4. ผลของการเพิ่มเกลือ กรด และค่าง ต่อคุณสมบัติของยาเม็ดเมทริกซ์	66
ไฮดรอกซิโพรพิลเมทิลเซลลูโลส บรรจุสารประกอบเชิงช้อนนิโโคติน-	
แมกนีเซียมอะลูมิเนียมชิลิคेट	
บทที่ ๕ สรุปผลการวิจัยและข้อเสนอแนะ	84
1. สรุปผลการวิจัย	84
2. ข้อเสนอแนะ	85
เอกสารซึ่งอ้าง	86
ภาคผนวก	91
ภาคผนวก ก กราฟมาตรฐานของสารละลายนิโโคติน	92
ภาคผนวก ข การวิเคราะห์ความถูกต้องของวิธีวิเคราะห์โดยโคลร์มาโตกราฟีเหลว	97
สมรรถนะสูงและโคลร์มาโตรกรรมของนิโโคติน	
การเผยแพร่วิทยานิพนธ์	105
ประวัติผู้เขียน	106

## สารบัญตาราง

	หน้า	
ตารางที่ 1	ค่า Release exponent ( $n$ ) จากสมการ Power law และกลไกการปลดปล่อยยา จากระบบนำส่งยาที่ความคุมโดยพอลิเมอร์ ที่มีรูปทรงเรขาคณิตแตกต่างกัน	13
ตารางที่ 2	ส่วนประกอบในคำรับยาเม็ดเมทริกซ์โซเดียมอัลจิเนต บรรจุสารประกอบเชิงช้อน นิโโคดิน-แมกนีเซียมอะลูมิնัมชิลิเกต ที่เตรียมที่พีเอช 4	17
ตารางที่ 3	ส่วนประกอบในคำรับยาเม็ดเมทริกซ์โซเดียมอัลจิเนต บรรจุสารประกอบเชิงช้อน นิโโคดิน-แมกนีเซียมอะลูมิնัมชิลิเกต ที่เตรียมที่พีเอช 7	18
ตารางที่ 4	ส่วนประกอบในคำรับยาเม็ดเมทริกซ์โซเดียมอัลจิเนต บรรจุสารประกอบเชิงช้อน นิโโคดิน-แมกนีเซียมอะลูมิնัมชิลิเกต ที่เตรียมที่พีเอช 9	18
ตารางที่ 5	ส่วนประกอบในคำรับยาเม็ดเมทริกซ์ไฮดรอกซิโพร์พิลเมทิลเซลลูโลส บรรจุสารประกอบเชิงช้อนนิโโคดิน-แมกนีเซียมอะลูมิնัมชิลิเกต ที่เตรียมที่พีเอช 9	19
ตารางที่ 6	ส่วนประกอบในคำรับยาเม็ดเมทริกซ์ไฮดรอกซิโพร์พิลเมทิลเซลลูโลส บรรจุสารประกอบเชิงช้อนนิโโคดิน-แมกนีเซียมอะลูมิնัมชิลิเกตที่เตรียมที่พีเอช 9 และมีปริมาณนิโโคดิน 15 มิลลิกรัมต่อมเม็ด ที่เติมแก้วี กραc และด่าง ปริมาณด่างๆ	20
ตารางที่ 7	ปริมาณนิโโคดินในสารประกอบเชิงช้อนนิโโคดิน-แมกนีเซียมอะลูมิնัมชิลิเกต ที่เตรียมที่พีเอชด่างๆ	25
ตารางที่ 8	อัตราการปลดปล่อยนิโโคดินจากอนุภาคของสารประกอบเชิงช้อนนิโโคดิน-แมกนีเซียม อะลูมิնัมชิลิเกต ที่เตรียมที่พีเอชด่างๆ คำนวณโดยใช้สมการ Higuchi	27
ตารางที่ 9	พารามิเตอร์จากสมการ Power law ของการปลดปล่อยนิโโคดินจากยาเม็ดเมทริกซ์ โซเดียมอัลจิเนต บรรจุสารประกอบเชิงช้อนนิโโคดิน-แมกนีเซียมอะลูมิնัมชิลิเกต ที่เตรียมที่พีเอชด่างๆ และมีปริมาณนิโโคดินแตกต่างกัน	34
ตารางที่ 10	อัตราการปลดปล่อยนิโโคดินจากสมการ Zero-order และ Higuchi ของยาเม็ดเมทริกซ์ โซเดียมอัลจิเนตบรรจุสารประกอบเชิงช้อนนิโโคดิน-แมกนีเซียมอะลูมิնัมชิลิเกต ที่เตรียมที่พีเอชด่างๆ และมีปริมาณนิโโคดินแตกต่างกัน	35
ตารางที่ 11	พารามิเตอร์จากสมการ Power law ของการปลดปล่อยนิโโคดินผ่านเมมเบรนเซลลูโลส อะซีเตตขนาดรูพรุน 0.45 ไมครอน ของยาเม็ดเมทริกซ์โซเดียมอัลจิเนตบรรจุสารประกอบ เชิงช้อนนิโโคดิน-แมกนีเซียมอะลูมิնัมชิลิเกตที่เตรียมที่พีเอชด่างๆ และมีปริมาณนิโโคดิน แตกต่างกัน	39

## สารบัญตาราง (ต่อ)

	หน้า
ตารางที่ 12 อัตราการปลดปล่อยนิโโคตินผ่าน.memเบรนเซลล์โลสอะซีเตตขนาดครูพรุน 0.45 ไมโครอนจากสมการ Zero-order และ Higuchi ของยาเม็ดเมทրิกซ์โซเดียมอัลจิเนตบรรจุสารประกอบเชิงช้อนนิโโคติน-แมกนีเซียมอะลูมิնัมชิลิเกตที่เตรียมที่พีเอชต่างๆ และมีปริมาณนิโโคตินแตกต่างกัน	39
ตารางที่ 13 อัตราการซึมผ่านของนิโโคตินผ่านเยื่ออเมือกหลอดอาหารหมูจากสมการ Zero-order และ Higuchi ของยาเม็ดเมทրิกซ์โซเดียมอัลจิเนตบรรจุสารประกอบเชิงช้อนนิโโคติน-แมกนีเซียมอะลูมิնัมชิลิเกต ที่เตรียมที่พีเอชต่างๆ และมีปริมาณนิโโคตินแตกต่างกัน	43
ตารางที่ 14 ปริมาณนิโโคตินแต่ละชนิด ที่สภาวะต่างๆ	44
ตารางที่ 15 พารามิเตอร์จากสมการของ Power law ของการปลดปล่อยนิโโคตินจากยาเม็ดเมทริกซ์บรรจุสารประกอบเชิงช้อนนิโโคติน-แมกนีเซียมอะลูมิնัมชิลิเกตที่เตรียมที่พีเอช 9 ที่ใช้พอลิเมอร์ชนิดต่างกัน	52
ตารางที่ 16 อัตราการปลดปล่อยนิโโคตินจากสมการ Zero-order และ Higuchi จากยาเม็ดเมทริกซ์บรรจุสารประกอบเชิงช้อนนิโโคติน-แมกนีเซียมอะลูมิնัมชิลิเกตที่เตรียมที่พีเอช 9 ที่ใช้พอลิเมอร์ชนิดต่างกัน	53
ตารางที่ 17 ขนาดอนุภาค และความหนาแน่นของไส้กรองซีโพรัสพอลิเมทิลเซลล์โลสชนิดต่างๆ	54
ตารางที่ 18 ความหนืดของพอลิเมอร์ชนิดต่างๆ ความเข้มข้นร้อยละ 2 โดยน้ำหนักต่อปริมาตร (2 %w/v) ที่อุณหภูมิ 32 องศาเซลเซียส	54
ตารางที่ 19 พารามิเตอร์จากสมการของ Power law ของการปลดปล่อยนิโโคตินผ่าน.memเบรนเซลล์โลสอะซีเตตขนาดครูพรุน 0.45 ไมโครอน ของยาเม็ดเมทริกซ์บรรจุสารประกอบเชิงช้อนนิโโคติน-แมกนีเซียมอะลูมิնัมชิลิเกต ที่เตรียมที่พีเอช 9 ที่ใช้พอลิเมอร์ต่างชนิดกัน	58
ตารางที่ 20 อัตราการปลดปล่อยนิโโคตินผ่าน.memเบรนเซลล์โลสอะซีเตตขนาดครูพรุน 0.45 ไมโครอนจากสมการ Zero-order และ Higuchi ของยาเม็ดเมทริกซ์บรรจุสารประกอบเชิงช้อนนิโโคติน-แมกนีเซียมอะลูมิնัมชิลิเกตที่เตรียมที่พีเอช 9 ที่ใช้พอลิเมอร์ต่างชนิดกัน	59
ตารางที่ 21 อัตราการปลดปล่อยนิโโคตินผ่านเยื่ออเมือกหลอดอาหารหมู จากสมการ Zero-order และ Higuchi ของยาเม็ดเมทริกซ์บรรจุสารประกอบเชิงช้อนนิโโคติน-แมกนีเซียมอะลูมิնัมชิลิเกตที่เตรียมที่พีเอช 9 ที่ใช้พอลิเมอร์ต่างชนิดกัน	63

## สารบัญตาราง (ต่อ)

	หน้า
ตารางที่ 22 พารามิเตอร์จากสมการ Power law ของการปลดปล่อยนิโโคตินจากยาเม็ดเมมทริกซ์ไ媳ครอกซ์โพรพิลเมทิลเซลลูโลสเกรดความหนืด 50 เชนติพอยส์ บรรจุสารประกอบเชิงช้อนนิโโคติน-แมกนีเซียมอะลูมิเนียมซิลิเกตที่เตรียมที่พีเอช 9 ปริมาณนิโโคติน 15 มิลลิกรัมต่อมีด ที่เติมเกลือ กรด และค่า ปริมาณต่างกัน	71
ตารางที่ 23 พารามิเตอร์จากสมการ Zero-order และ Higuchi ของการปลดปล่อยนิโโคตินจากยาเม็ดเมมทริกซ์ไ媳ครอกซ์โพรพิลเมทิลเซลลูโลสเกรดความหนืด 50 เชนติพอยส์ บรรจุสารประกอบเชิงช้อนนิโโคติน-แมกนีเซียมอะลูมิเนียมซิลิเกตที่เตรียมที่พีเอช 9 ปริมาณนิโโคติน 15 มิลลิกรัมต่อมีด ที่เติมเกลือ กรด และค่า ปริมาณต่างกัน	72
ตารางที่ 24 พารามิเตอร์จากสมการ Power law ของการปลดปล่อยนิโโคตินผ่านเมมเบรนเซลลูโลส อะซีเตดขนาดครูพรุน 0.45 ไมครอน ของยาเม็ดเมมทริกซ์ไ媳ครอกซ์โพรพิลเมทิลเซลลูโลสเกรดความหนืด 50 เชนติพอยส์ บรรจุสารประกอบเชิงช้อนนิโโคติน-แมกนีเซียมอะลูมิเนียมซิลิเกตที่เตรียมที่พีเอช 9 ปริมาณนิโโคติน 15 มิลลิกรัมต่อมีด ที่เติมเกลือ กรด และค่า ปริมาณต่างกัน	76
ตารางที่ 25 พารามิเตอร์จากสมการ Zero-order และ Higuchi ของการปลดปล่อยนิโโคติน ผ่านเมมเบรนเซลลูโลสอะซีเตดขนาดครูพรุน 0.45 ไมครอน ของยาเม็ดเมมทริกซ์ไ媳ครอกซ์โพรพิลเมทิลเซลลูโลสเกรดความหนืด 50 เชนติพอยส์ บรรจุสารประกอบเชิงช้อนนิโโคติน-แมกนีเซียมอะลูมิเนียมซิลิเกตที่เตรียมที่พีเอช 9 ปริมาณนิโโคติน 15 มิลลิกรัมต่อมีด ที่เติมเกลือ กรด และค่า ปริมาณต่างกัน	77
ตารางที่ 26 พารามิเตอร์จากสมการ Zero-order และ Higuchi ของการซึมผ่านเยื่อเมือกหลอดอาหารหมู ของนิโโคตินจากยาเม็ดเมมทริกซ์ไ媳ครอกซ์โพรพิลเมทิลเซลลูโลสเกรดความหนืด 50 เชนติพอยส์ บรรจุสารประกอบเชิงช้อนนิโโคติน-แมกนีเซียมอะลูมิเนียมซิลิเกตที่เตรียมที่พีเอช 9 ปริมาณนิโโคติน 15 มิลลิกรัมต่อมีด ที่เติมเกลือ กรด และค่า ปริมาณต่างกัน	81
ตารางที่ 27 การขึ้นติดทางชีวภาพของยาเม็ดเมมทริกซ์ไ媳ครอกซ์โพรพิลเมทิลเซลลูโลสเกรดความหนืด 50 เชนติพอยส์ บรรจุสารประกอบเชิงช้อนนิโโคติน-แมกนีเซียมอะลูมิเนียมซิลิเกตที่เตรียมที่พีเอช 9 ที่มีปริมาณนิโโคติน 15 มิลลิกรัมต่อมีด ที่เติมเกลือ กรด และค่า ปริมาณต่างกัน	83

## สารบัญตาราง (ต่อ)

	หน้า
ตารางที่ 28 ค่าการดูดกลืนแสงของนิโคตินในกรดไฮโดรคลอริก 2 โมลาร์ที่ความยาวคลื่น 259 nm	93
ตารางที่ 29 ค่าการดูดกลืนแสงของนิโคตินในสารละลายน้ำฟอตเฟสบัฟเฟอร์พีเอช 6.0 ที่ความยาวคลื่น 259 nm	95
ตารางที่ 30 พื้นที่ได้กราฟของสารละลามาตรฐานนิโคติน ในสารละลายน้ำฟอตเฟสบัฟเฟอร์พีเอช 6.0	99
ตารางที่ 31 พื้นที่ได้กราฟของสารละลามาตรฐานนิโคติน ในสารละลายฟอสเฟตบัฟเฟอร์ไอโซโทนิกพีเอช 7.4	100
ตารางที่ 32 พื้นที่ได้กราฟเฉลี่ย 3 วัน ของสารละลามาตรฐานนิโคติน ในสารละลายฟอสเฟตบัฟเฟอร์พีเอช 6.0	101
ตารางที่ 33 พื้นที่ได้กราฟเฉลี่ย 3 วัน ของสารละลามาตรฐานนิโคติน ในสารละลายฟอสเฟตบัฟเฟอร์ไอโซโทนิกพีเอช 7.4	101

## สารบัญภาพ

	หน้า	
ภาพที่ 1	โครงสร้างชั้นชิลิค็อกของเคลือบก่อสูมมอนต์โนริลโลในต์	5
ภาพที่ 2	โครงสร้างไม้เลกุลของนิโโคติน	5
ภาพที่ 3	สัดส่วนของนิโโคตินแต่ละชนิด ที่พีเอชต่างๆ	6
ภาพที่ 4	โครงสร้างของอัลจินต	7
ภาพที่ 5	โครงสร้างไม้เลกุลของไฮดรอกซีโพรพิลเมทิลเซลลูโลส	8
ภาพที่ 6	USP dissolution apparatus II ที่ดัดแปลงให้เหมาะสมกับการทดสอบ	21
ภาพที่ 7	การปลดปล่อยยาจากสารประกอบเชิงช้อนนิโโคติน-แมกนีเซียมอะลูมิเนียมชิลิค็อกที่เตรียมที่พีเอชต่างๆ แต่ละค่าแสดงในรูปของค่าเฉลี่ย $\pm$ ส่วนเบี่ยงเบนมาตรฐาน จาก 3 ตัวอย่าง	27
ภาพที่ 8	ความหนาและความแข็งของยาเม็ดเมทริกซ์โซเดียมอัลจินเตอร์เจลูสาระหว่างสารประกอบเชิงช้อนนิโโคติน-แมกนีเซียมอะลูมิเนียมชิลิค็อกที่เตรียมที่พีเอช 4 (ก) พีเอช 7 (ข) และพีเอช 9 (ค) แต่ละค่าแสดงในรูปของค่าเฉลี่ย $\pm$ ส่วนเบี่ยงเบนมาตรฐาน จาก 3 ตัวอย่าง	29
ภาพที่ 9	รูปแบบการปลดปล่อยยาจากยาเม็ดเมทริกซ์โซเดียมอัลจินเตอร์เจลูสาระหว่างสารประกอบเชิงช้อนนิโโคติน-แมกนีเซียมอะลูมิเนียมชิลิค็อกที่เตรียมที่พีเอช 4 (ก) พีเอช 7 (ข) และพีเอช 9 (ค) ที่ปริมาณนิโโคตินแตกต่างกัน แต่ละค่าแสดงในรูปของค่าเฉลี่ย $\pm$ ส่วนเบี่ยงเบนมาตรฐาน จาก 3 ตัวอย่าง	33
ภาพที่ 10	รูปแบบการปลดปล่อยนิโโคตินจากยาเม็ดเมทริกซ์โซเดียมอัลจินต บรรจุสารประกอบ เชิงช้อนนิโโคติน-แมกนีเซียมอะลูมิเนียมชิลิค็อกที่เตรียมที่พีเอช 9 ผ่านเมมเบรนเซลลูโลสอะซีเตตขนาดครูพรุน 0.45 ไมครอน แต่ละค่าแสดงในรูปของค่าเฉลี่ย $\pm$ ส่วนเบี่ยงเบนมาตรฐาน จาก 3 ตัวอย่าง	38
ภาพที่ 11	การปลดปล่อยนิโโคตินจากยาเม็ดเมทริกซ์โซเดียมอัลจินเตอร์เจลูสาระหว่างสารประกอบเชิงช้อนนิโโคติน-แมกนีเซียมอะลูมิเนียมชิลิค็อกที่เตรียมที่พีเอช 4 7 และ 9 (ปริมาณนิโโคติน 15 มิลลิกรัมต่อเม็ด) ผ่านเมมเบรนเซลลูโลสอะซีเตตขนาดครูพรุน 0.45 ไมครอน แต่ละค่าแสดงในรูปของค่าเฉลี่ย $\pm$ ส่วนเบี่ยงเบนมาตรฐาน จาก 3 ตัวอย่าง	38
ภาพที่ 12	ค่า release exponent (n) ของการปลดปล่อยนิโโคตินผ่านเมมเบรนเซลลูโลสอะซีเตตขนาดครูพรุน 0.45 ไมครอน (unidirectional release) และการปลดปล่อยนิโโคตินจากยาเม็ดเมทริกซ์ทั้งเม็ด (whole tablet) ของยาเม็ดเมทริกซ์โซเดียมอัลจินต แต่ละค่าแสดงในรูปของค่าเฉลี่ย $\pm$ ส่วนเบี่ยงเบนมาตรฐาน จาก 3 ตัวอย่าง	40

## สารบัญภาพ (ต่อ)

	หน้า
ภาพที่ 13 การซึมผ่านเยื่อเมือกหลอดอาหารหมูของนิโโคตินจากยาเม็ดเมมทริกซ์โซเดียมอัลจิเนตที่มีปริมาณนิโโคติน 15 มิลลิกรัมต่อเม็ด บรรจุสารประกอบเชิงช้อนนิโโคติน-แมกนีเซียมอะลูминัมชิลิคेटที่เตรียมที่พีเอช 4.7 และ 9 แต่ละค่าแสดงในรูปของค่าเฉลี่ย ± ส่วนเบี่ยงเบนมาตรฐาน จาก 3 ตัวอย่าง	42
ภาพที่ 14 อัตราการซึมผ่านเยื่อเมือกหลอดอาหารหมูของนิโโคติน และเวลาทึ้งช่วง (lag time) ของยาเม็ดเมมทริกซ์โซเดียมอัลจิเนตที่มีปริมาณนิโโคติน 15 มิลลิกรัมต่อเม็ด บรรจุสารประกอบเชิงช้อนนิโโคติน-แมกนีเซียมอะลูминัมชิลิคेटที่เตรียมที่พีเอช 4.7 และ 9 แต่ละค่าแสดงในรูปของค่าเฉลี่ย ± ส่วนเบี่ยงเบนมาตรฐาน จาก 3 ตัวอย่าง	42
ภาพที่ 15 การซึมผ่านเยื่อเมือกหลอดอาหารหมูของนิโโคตินจากยาเม็ดเมมทริกซ์โซเดียมอัลจิเนต บรรจุสารประกอบเชิงช้อนนิโโคติน-แมกนีเซียมอะลูминัมชิลิคेटที่เตรียมที่พีเอช 9 ที่มีปริมาณนิโโคตินต่างกัน แต่ละค่าแสดงในรูปของค่าเฉลี่ย ± ส่วนเบี่ยงเบนมาตรฐาน จาก 3 ตัวอย่าง	43
ภาพที่ 16 อัตราการซึมผ่านเยื่อเมือกหลอดอาหารหมูของนิโโคติน และอัตราการปลดปล่อยยาผ่าน膜เบรนเซลล์โลสอะซีเดตขนาดรูพรุน 0.45 ไมครอน ของยาเม็ดเมมทริกซ์โซเดียมอัลจิเนตบรรจุสารประกอบเชิงช้อนนิโโคติน-แมกนีเซียมอะลูминัมชิลิคेटที่เตรียมที่พีเอช 9 จากสมการ Higuchi แต่ละค่าแสดงในรูปของค่าเฉลี่ย ± ส่วนเบี่ยงเบนมาตรฐาน จาก 3 ตัวอย่าง	44
ภาพที่ 17 การยึดติดทางชีวภาพ (g) Maximum detachment force (x) Work of adhesion ของยาเม็ดเมมทริกซ์โซเดียมอัลจิเนตบรรจุสารประกอบเชิงช้อนนิโโคติน-แมกนีเซียมอะลูминัมชิลิคेटที่เตรียมที่พีเอชต่างๆ และมีปริมาณนิโโคตินแตกต่างกัน แต่ละค่าแสดงในรูปของค่าเฉลี่ย ± ส่วนเบี่ยงเบนมาตรฐาน จาก 5 ตัวอย่าง	46
ภาพที่ 18 ความหนาและความแข็งของยาเม็ดเมมทริกซ์ไฮดรอกซีโพรพิลเมทิลเซลล์โลส เกรดความหนืดต่างๆ บรรจุสารประกอบเชิงช้อนนิโโคติน-แมกนีเซียมอะลูминัมชิลิคेटที่เตรียมที่พีเอช 9 แต่ละค่าแสดงในรูปของค่าเฉลี่ย ± ส่วนเบี่ยงเบนมาตรฐาน จาก 3 ตัวอย่าง	48
ภาพที่ 19 การปลดปล่อยนิโโคตินจากยาเม็ดเมมทริกซ์ไฮดรอกซีโพรพิลเมทิลเซลล์โลส เกรดความหนืด 50 เชนดิพอยส์ บรรจุสารประกอบเชิงช้อนนิโโคติน-แมกนีเซียมอะลูминัมชิลิคेटที่เตรียมที่พีเอช 9 และมีปริมาณนิโโคติน 5.10 และ 15 มิลลิกรัมต่อเม็ด แต่ละค่าแสดงในรูปของค่าเฉลี่ย ± ส่วนเบี่ยงเบนมาตรฐาน จาก 3 ตัวอย่าง	49

## สารบัญภาพ (ต่อ)

	หน้า
ภาพที่ 20 การปลดปล่อยนิโโคตินจากยาเม็ดเมมทริกซ์บรรจุสารประกอบเชิงช้อนนิโโคติน-แมกนีเซียมอะลูมินัมชิลิเคลตที่เตรียมที่พีเอช 9 และมีปริมาณนิโโคติน 15 มิลลิกรัมต่อม៉ែดที่ใช้พอลิเมอร์ชนิดต่างกัน แต่ละค่าแสดงในรูปของค่าเฉลี่ย ± ส่วนเบี่ยงเบนมาตรฐาน จาก 3 ตัวอย่าง	51
ภาพที่ 21 การปลดปล่อยนิโโคตินผ่านเมมเบรนเซลล์โลสโซซีเตดขนาดครูพรุน 0.45 ไมครอน ของยาเม็ดเมมทริกซ์ไฮดรอกซิโพรัสพิลเมทิลเซลล์โลสเกรดความหนืด 50 เซนติพอยส์ บรรจุสารประกอบเชิงช้อนนิโโคติน-แมกนีเซียมอะลูมินัมชิลิเคลตที่เตรียมที่พีเอช 9 และมีปริมาณนิโโคตินต่างกัน แต่ละค่าแสดงในรูปของค่าเฉลี่ย ± ส่วนเบี่ยงเบนมาตรฐาน จาก 3 ตัวอย่าง	56
ภาพที่ 22 รูปแบบการปลดปล่อยนิโโคติน (ก) และอัตราการปลดปล่อยนิโโคตินจากการ Higuchi (ๆ) ของการปลดปล่อยยาผ่านเมมเบรนเซลล์โลสโซซีเตดขนาดครูพรุน 0.45 ไมครอน จากยาเม็ดเมมทริกซ์บรรจุสารประกอบเชิงช้อนนิโโคติน-แมกนีเซียมอะลูมินัมชิลิเคลตที่เตรียมที่พีเอช 9 ที่เตรียมจากพอลิเมอร์ต่างชนิดกัน (ปริมาณนิโโคติน 15 มิลลิกรัมต่อม៉ែด) แต่ละค่าแสดงในรูปของค่าเฉลี่ย ± ส่วนเบี่ยงเบนมาตรฐาน จาก 3 ตัวอย่าง	57
ภาพที่ 23 ค่า release exponent (n) ของการปลดปล่อยนิโโคตินผ่านเมมเบรนเซลล์โลสโซซีเตดขนาดครูพรุน 0.45 ไมครอน (unidirectional release) และการปลดปล่อยนิโโคตินจากยาเม็ดเมมทริกซ์ทั้งเม็ด (whole tablet) ของยาเม็ดเมมทริกซ์บรรจุสารประกอบเชิงช้อนนิโโคติน-แมกนีเซียมอะลูมินัมชิลิเคลตที่เตรียมที่พีเอช 9 แต่ละค่าแสดงในรูปของค่าเฉลี่ย ± ส่วนเบี่ยงเบนมาตรฐาน จาก 3 ตัวอย่าง	60
ภาพที่ 24 การซึมผ่านเยื่ออุ้กหลอดอาหารหมูของนิโโคติน จากยาเม็ดเมมทริกซ์ไฮดรอกซิโพรัสพิลเมทิลเซลล์โลสเกรดความหนืด 50 เซนติพอยส์ บรรจุสารประกอบเชิงช้อนนิโโคติน-แมกนีเซียมอะลูมินัมชิลิเคลตที่เตรียมที่พีเอช 9 ที่มีปริมาณนิโโคตินแตกต่างกัน แต่ละค่าแสดงในรูปของค่าเฉลี่ย ± ส่วนเบี่ยงเบนมาตรฐาน จาก 3 ตัวอย่าง	62
ภาพที่ 25 การซึมผ่านเยื่ออุ้กหลอดอาหารหมูของนิโโคตินจากยาเม็ดเมมทริกซ์บรรจุสารประกอบเชิงช้อนนิโโคติน-แมกนีเซียมอะลูมินัมชิลิเคลตที่เตรียมที่พีเอช 9 ที่มีปริมาณนิโโคติน 15 มิลลิกรัมต่อม៉ែด และเตรียมจากพอลิเมอร์ต่างชนิดกัน แต่ละค่าแสดงในรูปของค่าเฉลี่ย ± ส่วนเบี่ยงเบนมาตรฐาน จาก 3 ตัวอย่าง	62

## สารบัญภาพ (ต่อ)

	หน้า
ภาพที่ 26 อัตราการซึมผ่านเยื่อเมือกหลอดอาหารหมูของนิโโคติน และอัตราการปลดปล่อยยาผ่านเมมเบรนเซลลูโลสอะซีเตตขนาดครูพรุน 0.45 ไมครอน ของยาเม็ดเมทริกซ์บรรจุสารประกอบเชิงช้อนนิโโคติน-แมกนีเซียมอะลูминัมชิลิเกตที่เตรียมที่พีเอช 9 ที่ใช้พอลิเมอร์ต่างชนิดกัน จากสมการ Higuchi แต่ละค่าแสดงในรูปของค่าเฉลี่ย ± ส่วนเบี่ยงเบนมาตรฐาน จาก 3 ตัวอย่าง	64
ภาพที่ 27 การยึดติดทางชีวภาพของยาเม็ดเมทริกซ์บรรจุสารประกอบเชิงช้อนนิโโคติน-แมกนีเซียมอะลูминัมชิลิเกตที่เตรียมที่พีเอช 9 ที่ใช้พอลิเมอร์ชนิดต่างกัน (ก) Maximum detachment force (x) Work of adhesion แต่ละค่าแสดงในรูปของค่าเฉลี่ย ± ส่วนเบี่ยงเบนมาตรฐาน จาก 5 ตัวอย่าง	65
ภาพที่ 28 ผลของการเติมโซเดียมคลอไรด์ (ก) กรณีตริก (ข) และแมกนีเซียมไฮดรอกไซด์ (ค) ต่อความหนาและความแข็งของยาเม็ดเมทริกซ์ไฮดรอกซีโพธิลเมทิลเซลลูโลส เกรดความหนืด 50 เชนติพอยส์บรรจุสารประกอบเชิงช้อนนิโโคติน-แมกนีเซียมอะลูминัมชิลิเกตที่เตรียมที่พีเอช 9 (ปริมาณนิโโคติน 15 มิลลิกรัมต่อเม็ด) แต่ละค่าแสดงในรูปของค่าเฉลี่ย ± ส่วนเบี่ยงเบนมาตรฐาน จาก 3 ตัวอย่าง	67
ภาพที่ 29 ผลของโซเดียมคลอไรด์ (ก) กรณีตริก (ข) และแมกนีเซียมไฮดรอกไซด์ (ค) ต่อการปลดปล่อยนิโโคตินจากยาเม็ดเมทริกซ์ไฮดรอกซีโพธิลเมทิลเซลลูโลส เกรดความหนืด 50 เชนติพอยส์บรรจุสารประกอบเชิงช้อนนิโโคติน-แมกนีเซียมอะลูминัมชิลิเกตที่เตรียมที่พีเอช 9 ที่มีปริมาณนิโโคติน 15 มิลลิกรัมต่อเม็ด แต่ละค่าแสดงในรูปของค่าเฉลี่ย ± ส่วนเบี่ยงเบนมาตรฐาน จาก 3 ตัวอย่าง	70
ภาพที่ 30 ผลของโซเดียมคลอไรด์ (ก) กรณีตริก (ข) และแมกนีเซียมไฮดรอกไซด์ (ค) ต่อการปลดปล่อยนิโโคตินผ่านเมมเบรนเซลลูโลสอะซีเตตขนาดครูพรุน 0.45 ไมครอน ของยาเม็ดเมทริกซ์ไฮดรอกซีโพธิลเมทิลเซลลูโลสเกรดความหนืด 50 เชนติพอยส์บรรจุสารประกอบเชิงช้อนนิโโคติน-แมกนีเซียมอะลูминัมชิลิเกตที่เตรียมที่พีเอช 9 ที่มีปริมาณนิโโคติน 15 มิลลิกรัมต่อเม็ด แต่ละค่าแสดงในรูปของค่าเฉลี่ย ± ส่วนเบี่ยงเบนมาตรฐาน จาก 3 ตัวอย่าง	75

## สารบัญภาพ (ต่อ)

	หน้า
ภาพที่ 31 ค่า release exponent ( $n$ ) ของการปลดปล่อยนิโโคตินผ่านเมมเบรนเซลลูโลสอะซีเตต ขนาดครูพรุน 0.45 ไมครอน (unidirectional release) และการปลดปล่อยนิโโคติน <sup>1</sup> จากยาเม็ดเมทริกซ์ทั้งเม็ด (whole tablet) ของยาเม็ดเมทริกซ์ไชครอกซ์ไพรพิลเมทิล เซลลูโลสเกรดความหนืด 50 เชนติพอยส์ บรรจุสารประกอบเชิงช้อนนิโโคติน- แมกนีเซียมอะลูมินัมซิลิเกตที่เตรียมที่พีเอช 9 ปริมาณนิโโคติน 15 มิลลิกรัมต่อมเม็ด ที่เติมกลีอ  กรด และด่าง ปริมาณต่างกัน แต่ละค่าแสดงในรูปของค่าเฉลี่ย $\pm$ ส่วนเบี่ยงเบนมาตรฐาน จาก 3 ตัวอย่าง	78
ภาพที่ 32 ผลของโซเดียมคลอไรด์ (ก) กรดซิตริก (ข) และแมกนีเซียมไไฮดรอกไซด์ (ค) ต่อการซึมผ่านเยื่อเมือกหลอดอาหารหมูของนิโโคติน  จากยาเม็ดเมทริกซ์ไชครอกซ์ ไพรพิลเมทิลเซลลูโลสเกรดความหนืด 50 เชนติพอยส์ บรรจุสารประกอบเชิงช้อน นิโโคติน-แมกนีเซียมอะลูมินัมซิลิเกตที่เตรียมที่พีเอช 9 (ปริมาณนิโโคติน 15 มิลลิกรัม ต่อมเม็ด) แต่ละค่าแสดงในรูปของค่าเฉลี่ย $\pm$ ส่วนเบี่ยงเบนมาตรฐาน จาก 3 ตัวอย่าง	80
ภาพที่ 33 อัตราการซึมผ่านเยื่อเมือกหลอดอาหารหมูของนิโโคติน และอัตราการปลดปล่อยยา ผ่านเมมเบรนเซลลูโลสอะซีเตตขนาดครูพรุน 0.45 ไมครอน ของยาเม็ดเมทริกซ์ ไชครอกซ์ไพรพิลเมทิลเซลลูโลสบรรจุสารประกอบเชิงช้อนนิโโคติน-แมกนีเซียม อะลูมินัมซิลิเกตที่เตรียมที่พีเอช 9 ที่เติมโซเดียมคลอไรด์ (ก) กรดซิตริก (ข) และแมกนีเซียมไไฮดรอกไซด์ (ค) แต่ละค่าแสดงในรูปของค่าเฉลี่ย $\pm$ ส่วนเบี่ยงเบนมาตรฐาน จาก 3 ตัวอย่าง	82
ภาพที่ 34 กราฟสารละลายน้ำตรฐานนิโโคติน ในกรดไชโตรคลอริก 2 โมลาร์	94
ภาพที่ 35 กราฟสารละลายน้ำตรฐานนิโโคติน ในสารละลายนฟอตเฟสบัฟเฟอร์พีเอช 6.0	96
ภาพที่ 36 กราฟสารละลายน้ำตรฐานนิโโคตินในสารละลายนฟอตเฟสบัฟเฟอร์พีเอช 6.0 และในสารละลายนฟอสเฟตบัฟเฟอร์ไอโซโทนิกพีเอช 7.4	102
ภาพที่ 37 โครมาโตแกรมของนิโโคติน  จากสารละลายน้ำตรฐานนิโโคตินในสารละลายน ฟอตเฟสบัฟเฟอร์พีเอช 6.0 และสารละลายนฟอสเฟตบัฟเฟอร์ไอโซโทนิกพีเอช 7.4	103
ภาพที่ 38 โครมาโตแกรมของนิโโคตินที่ปลดปล่อยผ่านเมมเบรนเซลลูโลสอะซีเตตขนาดครูพรุน 0.45 ไมครอน และที่ซึมผ่านเยื่อเมือกหลอดอาหารหมู	104

## รายการสัญลักษณ์และคำย่อ

MAS	คือ	แมกนีเซียมอะกูมินัมซิลิเกต
NCT	คือ	นิโกรดิน
SA	คือ	โซเดียมอลจิเนต
HPMC	คือ	ไฮดรอกซิโพร์พิลเมทิลเซลลูโลส
HPMC C15	คือ	ไฮดรอกซิโพร์พิลเมทิลเซลลูโลสเกรดความหนืด 15 เซนติพอยยาร์ด
HPMC C50	คือ	ไฮดรอกซิโพร์พิลเมทิลเซลลูโลสเกรดความหนืด 50 เซนติพอยยาร์ด
HPMC C100	คือ	ไฮดรอกซิโพร์พิลเมทิลเซลลูโลสเกรดความหนืด 100 เซนติพอยยาร์ด
NaCl	คือ	โซเดียมคลอไรด์
Mg(OH) <sub>2</sub>	คือ	แมกนีเซียมไฮดรอกไซด์
HPLC	คือ	ไฮเพอร์ฟาร์บิฟิวชัน ไฮเพอร์ฟาร์บิฟิวชัน (High performance liquid chromatography)
SD	คือ	ส่วนเบี่ยงเบนมาตรฐาน (standard deviation)
CV	คือ	ค่าสัมประสิทธิ์ความแปรปรวน (coefficient of variation)
R <sup>2</sup>	คือ	Coefficient of determination
μm	คือ	ไมโครอน ไมโครเมตร
nm	คือ	นาโนเมตร
mm	คือ	มิลลิเมตร
μg	คือ	ไมโครกรัม
mg	คือ	มิลลิกรัม
N	คือ	นิวตัน
mN	คือ	มิลลินิวตัน
mN mm	คือ	มิลลินิวตัน มิลลิเมตร
μl	คือ	ไมโครลิตร
mV	คือ	มิลลิโวลต์
MPa	คือ	เมกะปานาเคลา
cP	คือ	เซนติพอยยาร์ด
%w/w	คือ	ร้อยละ โดยน้ำหนักต่อน้ำหนัก
%w/v	คือ	ร้อยละ โดยน้ำหนักต่อบริมาตร